

Tesis de Licenciatura



Universidad  
de  
Buenos Aires

**FCEyN**

Facultad de Ciencias Exactas y Naturales  
Departamento de Física

**Construcción e implementación de un  
sistema integral de caracterización de  
filtros ópticos de interferencia de banda  
utilizados en cámaras hiperspectrales.**

**Juan Reto Reynal**

Director: Prof. Dr. Hernán Grecco  
Abril 2019



**Poděkování**

**Prohlášení**

## Abstrakt

Rozvíjíme ...

### Klíčová slova:

**Director:** Prof. Dr. Hernán Grecco  
Laboratorio de Electrónica Cuántica, DF,  
FCEyN, UBA.

## Abstract

We develop ...

### Keywords:

**Title translation:** Planting Uranium

## Obsah

<b>Plan de Tesis - Juan Reto Reynal</b>	<b>1</b>
Objetivo general .....	1
Objetivos específicos del proyecto ..	2
Introducción .....	2
Actividades y Metodología .....	8
Factibilidad .....	10
<b>Literatura</b>	<b>11</b>

1 Representación de los espectros: (A) Multiespectral: 5 bandas anchas; y, (B) Hiperespectral: muchas bandas muy estrechas, generalmente entre cientos y miles de ellas. Los dibujos no se encuentran realizados a escala. Imagen tomada de [Adão et al., 2017]. . . . .	2
2 Esquema de una cámara hiperespectral. El filtro absorbe el espectro completo de la luz incidente salvo la banda espectral que el usuario determina, por lo que sólo las longitudes de onda elegidas atraviesan el filtro y son detectadas por el sensor. [Martínez-Usó et al., 2008] . . . . .	3
3 Discrepancias entre las mediciones experimentales con espectrómetros comerciales y el espectro "real" de un filtro óptico. Adaptado de [y Prashant Prabhat, 2012]. . . . .	4
4 Distintas mediciones de la OD de un filtro LP03-532RE- 25 RazorEdge de la empresa Semrock. Las mediciones fueron realizadas utilizando tanto espectrómetros comerciales como <i>custom-made</i> de la empresa con una variedad de arreglos experimentales que se explican en el texto. Adaptado de [y Prashant Prabhat, 2012]. . . . .	5
5 Diseño básico de un espectrómetro <i>custom-built</i> que utiliza una fuente de iluminación de banda ancha y permite la recolección de una amplia gama de longitudes de onda simultáneamente con un conjunto de detectores situados en la cámara. Este arreglo experimental permite una medición más rápida con un piso de ruido y una resolución fijas. Adaptado de [y Prashant Prabhat, 2012]. . . . .	6
6 Arreglo experimental compatible con la producción industrial para medir valores de OD altos. . . . .	7

## Plan de Tesis - Juan Reto Reynal

TÍTULO: Construcción e implementación de un sistema integral de caracterización de filtros ópticos de interferencia de banda utilizados en cámaras hiperspectrales.

ALUMNO: Juan Reto Reynal L.U. 777/12.

DIRECTOR: Dr. Hernán E. Grecco, Prof. Adj. UBA, Inv. Indep. CONICET.

LUGAR DE TRABAJO: LEC, Departamento de Física, FCEyN, UBA.

### Objetivo general

La espectroscopía de imágenes hiperspectrales, en inglés *Hyperspectral Spectroscopy Imaging* (HSI), combina la espectroscopía y la adquisición de imágenes en dos dimensiones.

Este método brinda datos espectrales para cada pixel en el campo de visión<sup>1</sup>. A partir de dichos datos se puede extraer información sobre la emisión, reflexión y absorción de la radiación electromagnética, que puede ser utilizada para determinar la composición química en diferentes áreas de una muestra. De esta forma se pueden identificar tumores de un cáncer, realizar un control de calidad de la comida identificando bacterias en tiempo real, localizar las células de una muestra biológica u optimizar la siembra y la cosecha de ciertos cultivos, entre otras aplicaciones.

En la tesis de licenciatura de Agustina Pose [Pose, 2017], dirigida por Hernán Grecco quien también dirige esta tesis, ambos desarrollaron un prototipo de cámara hiperspectral para uso satelital junto a la empresa Satellogic. Tras la realización de pruebas y mediciones en tierra, se aprobó la prueba de concepto de este prototipo y se lo adaptó a un diseño robusto. La cámara hiperspectral diseñada es hoy una de las cargas útiles (o *payloads*) a bordo de los satélites argentinos NewSat 1 y NewSat 2 (alias Fresco y Batata), puestos en órbita el 30 de Mayo de 2016, construidos por la empresa Satellogic.

En el presente proyecto se propone continuar con dicho trabajo y desarrollar un sistema integral de caracterización de los filtros de interferencia de banda que son utilizados en las cámaras hiperspectrales. Estos filtros permiten el

---

<sup>1</sup>El campo de visión, en inglés *field of view* (FOV), es el ángulo sólido a través del cual un sensor puede detectar la radiación electromagnética que se desee capturar.

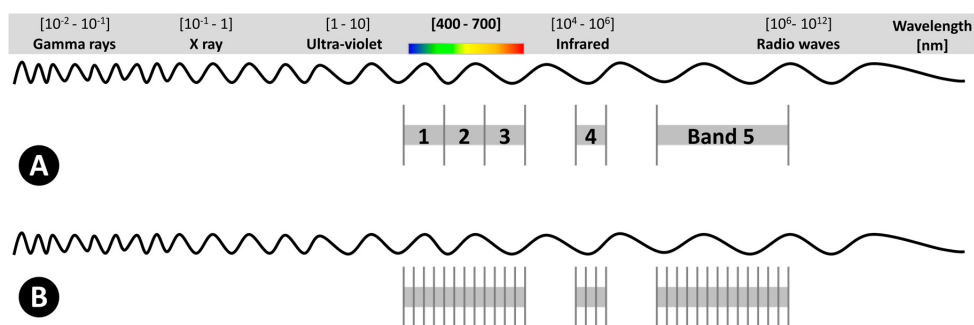
paso de las longitudes de onda (colores) que se desean capturar con el sensor de detección principal de la cámara que sólo detecta intensidad lumínica, como se explica en la Introducción. En consecuencia, la caracterización de los filtros resulta fundamental para garantizar la calidad de las imágenes capturadas. El primer prototipo de este sistema integral permitirá principalmente caracterizar el espectro de transmisión del filtro en cada punto del mismo, es decir en cada posición  $(x, y)$  de su superficie, y encontrar defectos que pudieran modificar su capacidad de bloqueo de ciertas longitudes de onda no deseadas.

## ■ Objetivos específicos del proyecto

- **Objetivo 1:** Armado de distintos setups de iluminación o detección para distintas longitudes de onda para analizar los espectros de transmisión de los filtros.
- **Objetivo 2:** Armado de distintas configuraciones experimentales controlando distintas formas de iluminar los filtros para poder encontrar los defectos.
- **Objetivo 3:** Construcción e implementación de un primer prototipo de un sistema integral que pueda decidir si un filtro está apto o no para ser integrado al satélite.

## ■ Introducción

Una imagen a color RGB convencional está compuesta por tres canales de imágenes (bandas): rojo ( $\sim 665\text{nm}$ ), verde ( $\sim 550\text{nm}$ ) y azul ( $\sim 470\text{nm}$ ). Este tipo de imágenes permiten emular la percepción que el ojo humano tiene del color, pero no permiten la detección e identificación de distintos objetos sólidos y líquidos, menos aún determinar sus propiedades. Para ello es necesario obtener el espectro completo del objeto de estudio que es posible a partir de la captura de imágenes multiespectrales e hiperespectrales.



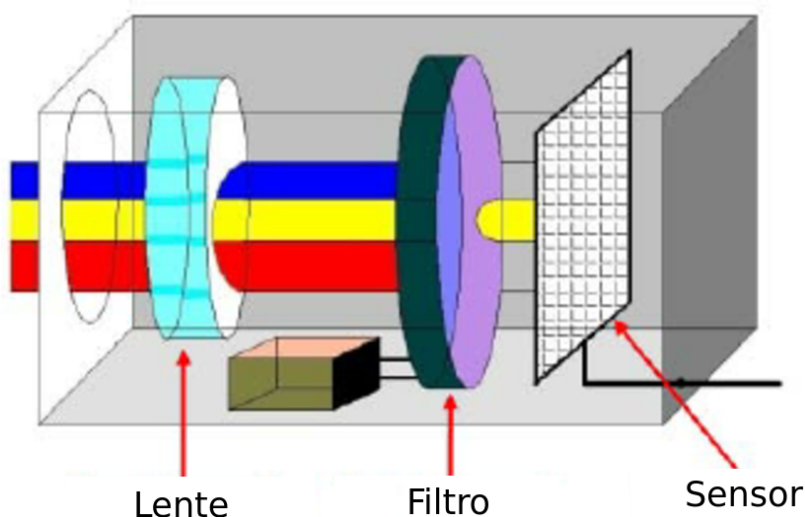
**Figura 1:** Representación de los espectros: (A) Multiespectral: 5 bandas anchas; y, (B) Hiperespectral: muchas bandas muy estrechas, generalmente entre cientos y miles de ellas. Los dibujos no se encuentran realizados a escala. Imagen tomada de [Adão et al., 2017].



Las imágenes multiespectrales contienen un número acotado de bandas espectrales de hasta un par de decenas, con un gran ancho de banda (varias decenas de nm); mientras que las hiperespectrales están formadas por un gran número de bandas espectrales (de cientos a miles), con una resolución espectral muy estrecha, de unos pocos nm (Ver Figura 1).

Las cámaras de adquisición de imágenes hiperespectrales estándar utilizan redes de difracción o prismas como elementos dispersivos de la luz. La distancia requerida entre el sensor de detección y el componente de difracción de la luz, hace que este tipo de cámaras sean muy grandes y muy pesadas, dos condiciones que por ejemplo en la industria satelital se quieren optimizar fuertemente ya que el costo de la puesta en órbita de los satélites es proporcional a su peso y a su tamaño. Estas cámaras suelen ser muy caras y muy sensibles a desalinearse debido a las condiciones mecánicas de su construcción. Además, requieren de una rendija para poder obtener una alta resolución espectral, lo que restringe significativamente la intensidad de la luz a detectar.

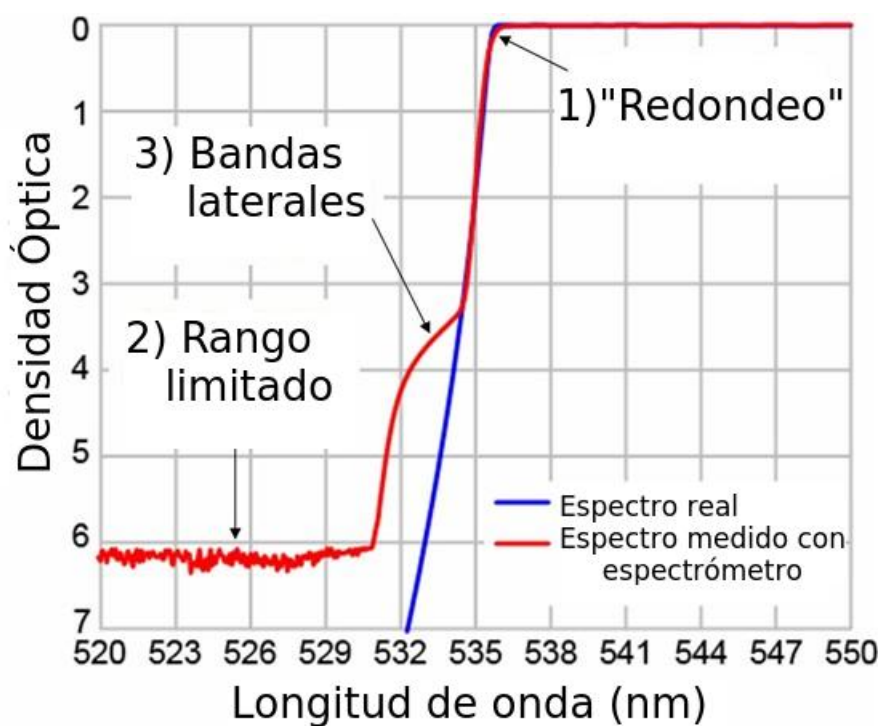
En respuesta a las desventajas de las cámaras estándar de imágenes hiperespectrales, aparecieron otro tipo de cámaras que utilizan filtros de interferencia de banda y que resultaron en un producto final robusto, compacto, de bajo costo y de muy buen rendimiento. El esquema básico de este tipo de cámaras hiperespectrales se muestra en la Figura 2. Los filtros de interferencia de banda utilizados en este tipo de cámaras deben cumplir ciertos requisitos de calidad (no presentar rayones, ni marcas, etc) y ciertas características espectrales y de transmisión antes de ser incorporados a la carga útil de, por ejemplo, un satélite que va a ser puesto en órbita. En consecuencia, resulta fundamental caracterizar completamente dichos filtros antes de construir las cámaras de la aplicación de interés.



**Figura 2:** Esquema de una cámara hiperespectral. El filtro absorbe el espectro completo de la luz incidente salvo la banda espectral que el usuario determina, por lo que sólo las longitudes de onda elegidas atraviesan el filtro y son detectadas por el sensor. [Martínez-Usó et al., 2008]

Debido a las limitaciones de las técnicas de medición estándar de los espectros de transmisión de los filtros ópticos donde se utilizan espectrómetros comerciales, existen tres discrepancias fundamentales entre el espectro "real"<sup>2</sup> de un filtro y sus mediciones experimentales realizadas con espectrómetros comerciales (Ver Figura 3)[y Prashant Prabhat, 2012]. La primera discrepancia es el "redondeo" de características espectrales nítidas de los filtros. Esto se debe al ancho de banda no nulo del haz de la sonda del espectrómetro.

La segunda discrepancia se debe al rango limitado de medición de la OD<sup>3</sup> del filtro, que es producto de la sensibilidad limitada del espectrómetro. Cuando un filtro tiene un valor de OD muy alto,  $OD > 6$ , el detector debería medir una intensidad de la luz prácticamente nula pero el ruido óptico y electrónico propio del detector limita el nivel más bajo de intensidad que puede medir con precisión. De esta forma, se puede ver un ruido de piso debido al sensor indicando un cierto valor de OD que no coincide con el valor real del filtro.



**Figura 3:** Discrepancias entre las mediciones experimentales con espectrómetros comerciales y el espectro "real" de un filtro óptico. Adaptado de [y Prashant Prabhat, 2012].

La tercera discrepancia es propia de las mediciones de transiciones muy

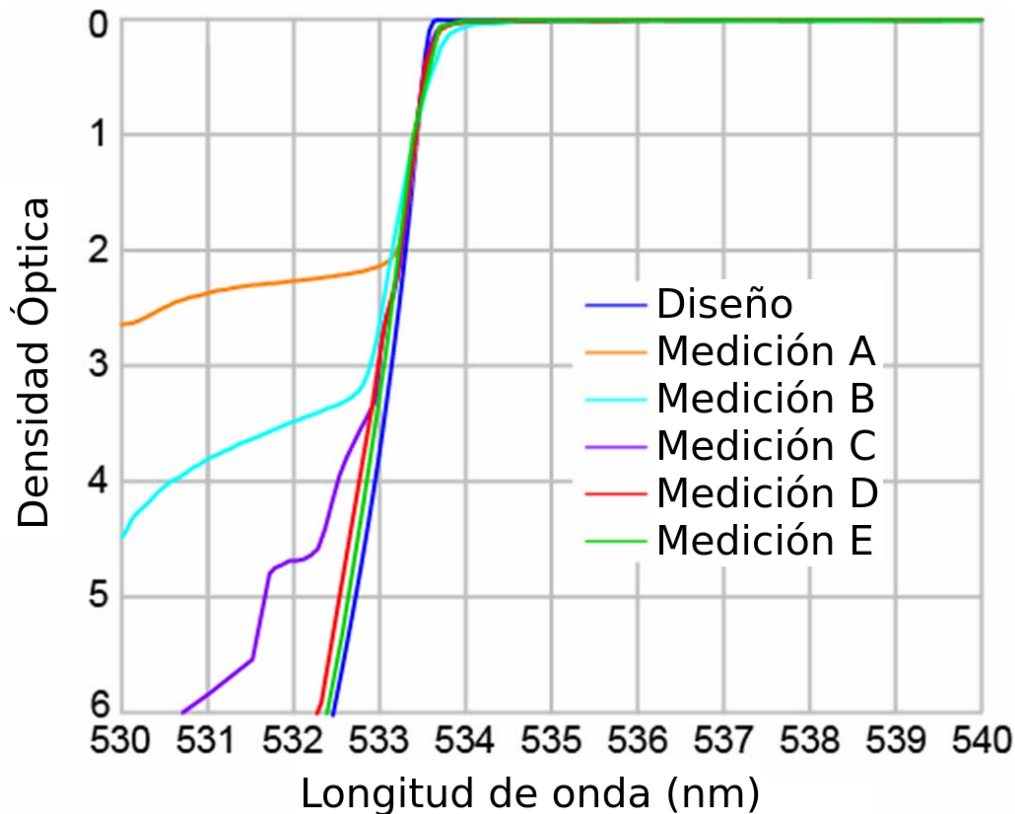
<sup>2</sup>El espectro "real" es el espectro de diseño del filtro para el que fue especialmente construido.

<sup>3</sup>La densidad óptica, OD (Optical Density), es un parámetro útil para describir la transmisión de la luz a través de un filtro óptico con una transmisión extremadamente baja. Si  $T$  es la transmisión del filtro, que varía entre 0 y 1, se define la densidad óptica como  $OD = -\log_{10}(T)$ .

pronunciadas. Esto surge por el hecho de que el haz de la sonda no es monocromático, sino que también tiene bandas laterales débiles de longitudes de onda fuera de su ancho de banda principal.

Las discrepancias de medición en espectrómetros convencionales causan importantes problemas al intentar evaluar el rendimiento del filtro para la aplicación prevista.

La elección del instrumento de medición y la técnica empleada determinan la precisión de la medición del espectro de transmisión del filtro. Al mismo tiempo, determinan la duración y por ende también el costo de dichas mediciones, que deben ser compatibles con los tiempos que la industria requiere. Esto se puede ver con un ejemplo tomado de [y Prashant Prabhat, 2012]. En la Figura 4 se muestran cinco mediciones distintas de la densidad óptica de un filtro diseñado para bloquear longitudes de onda de 532 nm con  $OD > 6$  y tener una transición a un estado de alta transmisión dentro del 0.5% de la longitud de onda del láser utilizado para excitar la muestra, que es de 534.7nm.



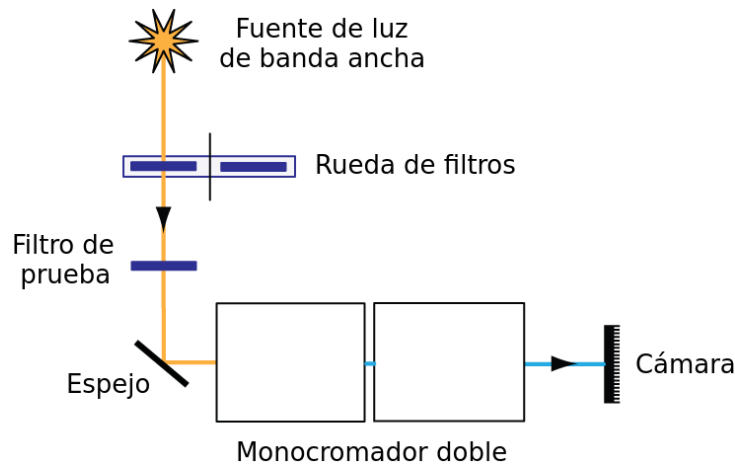
**Figura 4:** Distintas mediciones de la OD de un filtro LP03-532RE- 25 RazorEdge de la empresa Semrock. Las mediciones fueron realizadas utilizando tanto espectrómetros comerciales como *custom-made* de la empresa con una variedad de arreglos experimentales que se explican en el texto. Adaptado de [y Prashant Prabhat, 2012].

Las mediciones del método A fueron realizadas por un espectrómetro de

diseño propio (*custom-built*) de la empresa, que tiene un tiempo de integración muy corto y una baja resolución, lo que resulta en una configuración experimental óptima para obtener mediciones de una gran cantidad de filtros de prueba. Este método es utilizado para determinar con precisión la longitud de onda a partir de la cual el filtro pasa a tener una alta transmisión, es decir, localiza la longitud de onda de la transición entre el estado de bloqueo y de transmisión del filtro, la longitud de onda de corte. De esta forma, se garantiza una cierta uniformidad en un lote de filtros a ser utilizado de una forma rápida y eficiente. Ahora bien, como se observa en el gráfico de la Figura 4, el método A posee una sensibilidad muy mala y una resolución muy baja, obteniéndose un piso de ruido mayor a OD 2.

El método B utiliza un espectrómetro comercial (Perkin Elmer Lambda 900) cuyos inconvenientes fueron explicados a partir de las tres discrepancias en la Figura 3. Con este método no se puede asegurar que el filtro tenga un  $OD > 6$  en los 532nm.

Los métodos C y D utilizan el mismo espectrómetro *custom-built* del método A, cuyo principio de funcionamiento básico se muestra en la Figura 5. La diferencia fundamental con el método B que utiliza un espectrómetro comercial es que las mediciones con el espectrómetro *custom-built* realizan la detección con una cámara CMOS de bajo ruido, que consiste en un arreglo de detectores, por lo que puede medir en un rango muy grande de longitudes de onda simultáneamente. Este método permite en consecuencia obtener mediciones en un rango espectral muy grande, con una cierta resolución en un cierto tiempo de integración, de forma muy rápida. El inconveniente fundamental de este método es que al utilizar una fuente de iluminación de banda ancha, si el filtro de prueba tuviera, por ejemplo, una autofluorescencia apreciable [Shah and Yager, 2017], podría interferir con una medición precisa de la transmisión de la muestra.



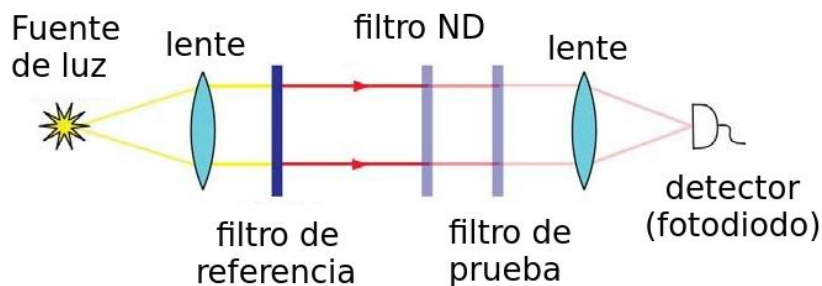
**Figura 5:** Diseño básico de un espectrómetro *custom-built* que utiliza una fuente de iluminación de banda ancha y permite la recolección de una amplia gama de longitudes de onda simultáneamente con un conjunto de detectores situados en la cámara. Este arreglo experimental permite una medición más rápida con un piso de ruido y una resolución fijas. Adaptado de [y Prashant Prabhat, 2012].

Ahora bien, dependiendo de la aplicación, las limitaciones en las mediciones del espectro de transmisión de los filtros pueden ser determinantes o no. En el presente proyecto se quiere determinar el arreglo experimental óptimo pero que sea compatible con los tiempos y costos de producción de la industria satelital.

En ciertos filtros y aplicaciones, resulta de vital importancia el nivel de bloqueo de ciertos rangos de longitudes de onda pero no así la suavidad de la transición entre el bloqueo y la transmisión. Por ejemplo, en sistemas de imágenes de fluorescencia los espectros de absorción y emisión del fluoróforo podrían estar lo suficientemente alejados como para que resulte fundamental que los filtros de banda de la señal de respuesta (de emisión) de la muestra tengan un bloqueo muy alto en la banda de la señal de excitación y así lograr una relación entre la señal y el ruido de adecuada proporción [Grecco et al., 2016].

Los filtros diseñados para estas aplicaciones podrían tener decenas de OD de bloqueo pero en la práctica incluso el más pequeño de los defectos físicos en los recubrimientos ópticos (*coatings*) o en el montaje, así como el bajo nivel de control de luz parásita a nivel del sistema, puede limitar el bloqueo alcanzable a valores mucho menores que los del diseño original, en el rango de aproximadamente OD 6 a quizás 10.

Dado que los espectrómetros comerciales estándar tienen una medición de OD de rango limitado debido al ruido de fondo del instrumento, se propone un arreglo experimental inicial para poder medir los niveles de bloqueo más altos con precisión como se muestra en la Figura 6 y que resulta compatible con la producción industrial deseada por su simplicidad.



**Figura 6:** Arreglo experimental compatible con la producción industrial para medir valores de OD altos.

El método experimental de la Figura 6 se denomina *complementary filter method*. Un haz de luz de banda ancha, de una lámpara QTH (*Quartz-Tungsten Halogen*) ó de arco, aproximadamente colimado por una lente es filtrado utilizando un filtro de referencia ampliamente bloqueador, que es esencialmente un filtro de banda con su banda de paso superpuesta a la región del espectro del filtro de prueba que se quiere analizar donde la medición de valores de OD altos son necesarios. La luz transmitida es enfocada con una lente convergente en un detector de bajo ruido capaz de medir niveles de intensidad de luz muy pequeños, como un fotodiodo de gran área con un circuito amplificador de bajo ruido ó un tubo fotomultiplicador (PMT).



9

## **Factibilidad**

El lugar de trabajo donde el tesista va a desarrollar sus actividades es el Laboratorio de Electrónica Cuántica (LEC) del Departamento de Física de la Facultad de Ciencias Exactas y Naturales, UBA. El LEC cuenta con diversos equipos de uso general en óptica y electrónica y algunos de uso específico para aplicaciones en investigación de física básica. Entre los equipos de uso relevante para el presente proyecto se pueden encontrar mesas ópticas de suspensión neumática, un microscopio invertido automático Zeiss Observer Z1, diversas placas de adquisición y procesamiento (NI y Red Pitaya, Raspberry Pi y Arduino), cámaras científicas y de bajo ruido (Apogee U2000, QHY183M), elementos de óptica para la construcción de instrumentos (lentes, filtros, objetivos de microscopio, optomecánica, láseres y leds). Adicionalmente, el laboratorio cuenta con acceso a un microscopio confocal de la firma Olympus, modelo FV1000 equipado con una platina motorizada, cámara ambiental y cámara CCD.

El director de la presente tesis es director del LEC y es experto en temas de óptica y fotofísica, áreas principales del proyecto. Además, tiene la experiencia de haber dirigido a una estudiante que realizó la tesis en conjunto con el LEC y la empresa Satellogic, resultando en una experiencia exitosa.

El tesista se encuentra cursando actualmente sus últimas dos materias de la carrera: Estructura de la Materia 4 e Instrumentación y Control.





## Literatura

- [Adão et al., 2017] Adão, T., Hruška, J., Pádua, L., Bessa, J., Peres, E., Morais, R., and Sousa, J. (2017). Hyperspectral imaging: A review on uav-based sensors, data processing and applications for agriculture and forestry. *Remote Sensing*, 2017:1110.
- [Grecco et al., 2016] Grecco, H. E., Imtiaz, S., and Zamir, E. (2016). Multiplexed imaging of intracellular protein networks. *Cytometry Part A*, 89(8):761–775.
- [Martínez-Usó et al., 2008] Martínez-Usó, A., Pla, F., Sotoca, J., and García-Sevilla, P. (2008). From narrow to broad band design and selection in hyperspectral images. volume 5112, pages 1091–1100.
- [Pose, 2017] Pose, A. (2017). Adquisición, procesamiento y análisis de imágenes hiperespectrales: de la microscopía de fluorescencia a la industria satelital. Master’s thesis, UBA, Argentina. Director: Dr. Hernán Grecco.
- [Shah and Yager, 2017] Shah, K. G. and Yager, P. (2017). Wavelengths and lifetimes of paper autofluorescence: A simple substrate screening process to enhance the sensitivity of fluorescence-based assays in paper. *Analytical Chemistry*, 89(22):12023–12029. PMID: 29048155.
- [y Prashant Prabhat, 2012] y Prashant Prabhat, T. E. (2012). *Semrock Technical Note Series: Measurement of Optical Filter Spectra*. Semrock.